

# خواص پلیمرها و نظریه مقیاس بندی

## Polymer Properties and Theory of Scaling

مصطفی کیری بدر، محمد تقی زعفرانی معطر

دانشگاه صنعتی سهند، دانشکده مهندسی شیمی، دانشگاه تبریز، دانشکده شیمی

و از های کلیدی:

مقیاس بندی، طول همیستگی، نسبت بحرانی، محلولهای پلیمری، نظریه اسمازی

در این مقاله نتایج به دست آمده از نظریه مقیاس بندی در مورد پدیده های بحرانی و خواص پلیمرها و ارتباط این دو با یکدیگر مورد بررسی قرار می گیرد. ولی به علت گستردگی زمینه مورد مطالعه تنها خواص استاتیکی پلیمرها و به طور انحصری خواص سربوط به یک مولکول پلیمر و محلولهای پلیمر رقین و نیمه رقین در حاله های خوب بحث می شوند.

نظریه مقیاس بندی و پدیده های بحرانی  
پدیده های بحرانی معمولاً به خواص ترمودینامیکی سیستمها در نزدیکی دمای بحرانی انتقال فاز مرتبه دوم یا در نزدیکی نقطه بحرانی انتقال گاز - مایع گفته می شود. خواص ترمودینامیکی سیالات در نزدیکی نقطه بحرانی از معادله های حالت پیروی نمی کنند و رفتار ویژه ای نشان می دهند. جالب توجه اینکه در نزدیکی نقطه بحرانی مشاهده می شود که خواص ترمودینامیکی سیالات از قوانین توافقی (power laws) با توانهای غیر صحیح پیروی می کنند. به طوری که این خواص نظیر اختلاف حجم مولی گاز و مایع ( $V_g - V_l$ )، ظرفیت گرمایی  $C_v$ ، و تراکم پذیری همدما  $K_T$ ، و قی دمای  $T_c$  به دمای بحرانی  $T_c$  میل می کند به وسیله رابطه های زیر داده می شوند:

$$(V_g - V_l) \propto (T_c - T)^{\alpha} \quad (1)$$

$$C_v \propto [T - T_c]^{-\beta} \quad (2)$$

$$K_T \propto [T - T_c]^{-\gamma} \quad (3)$$

نمایه ای  $\alpha$ ،  $\beta$  و  $\gamma$  از اینها را نمایه بحرانی نامیده می شوند و به این نمایه ای توان هر مقدار دلخواهی را نسبت داد. به این ترتیب، در نزدیکی نقطه بحرانی خواص سیستمها مختلف را که تحت انتقالهای متفاوت قرار می گیرند می توان توسط مجموعه معینی از نمایه ای یاد شده مشخص کرد. به عبارت دیگر، نمایه ای بحرانی در واقع ثابت های جهانی می باشد. علاوه بر این، معلوم شده است که بین نمایه ای بحرانی رابطه های بسیار ساده ای نظریه رابطه زیر وجود دارد:

$$\alpha + \beta + \gamma = 2 \quad (4)$$

در این مقاله برای دستیابی به خواص استاتیکی محلولهای پلیمر، ابتدا ارتباط بین پدیده های بحرانی و خواص سیستمها پلیمری بررسی می شود. سپس، کاربرد نظریه مقیاس بندی برای دستیابی به پاره ای خواص مولکولهای پلیمر تشریح می شود و با توجه به شباهت طول همیستگی در سیستم های فرو مناظطی و فاصله دو سرنجیر در سیستم های پلیمری، فاصله دو سرنجیر به عنوان طول شخصه سیستم های پلیمری برای دستیابی به خواص نظریه اسمازی مورد استفاده قرار می گیرد.

مقدمه

استفاده از نظریه مقیاس بندی (scaling) برای دستیابی به خواص مولکولهای پلیمر به تازگی مورد توجه پژوهشگران مختلف قرار گرفته است. این نظریه که پیش از این در مورد خواص پدیده های بحرانی (critical phenomena) به کار گرفته می شد، با توجه به شباهت خواص پلیمرها و خواص پدیده های بحرانی، برای نخستین بار توسط دو زان در سال ۱۹۷۲ برای بررسی خواص پلیمرها مورد استفاده قرار گرفت [۱]. نتایج به دست آمده از نظریه مقیاس بندی در مورد خواص پلیمرها در کتابی با عنوان "مفاهیم مقیاس بندی در فیزیک پلیمرها" توسط دوزان در سال ۱۹۷۹ به چاپ رسید [۲]. به تازگی با به کار گیری نظریه های پیشرفته مکانیک آماری، خواص پلیمرها با استفاده از نظریه باز بهنجارش گروه (renormalization group) (دوباره به طور گسترده ای مورد مطالعه قرار گرفته است. در کتاب "نظریه باز بهنجارش گروه ماکرو مولکولها" که توسط فیرید در سال ۱۹۸۷ به چاپ رسید [۳]، نظریه یاد شده تشریح شده است. اخیرا در کتاب "پلیمرها در محلول" که توسط دکلو آزو در سال ۱۹۹۰ به چاپ رسید [۴]، نظریه های بالا به طور کامل بحث شده است.

Key Words: scaling ,correlation length, critical exponent, polymer solution, osmotic pressure

نزدیکی نقطه بحرانی به صورت زیر بیان می‌شود.

$$(9) \quad T_c - T \rightarrow 0 \quad \propto [T - T_c]^{-\alpha}$$

به همین ترتیب، در مورد پلیمرها وقتی تعداد مونومرها به بینهایت میل می‌کند، ارتباط بین طول همبستگی  $\langle R^2 \rangle^{1/2}$ ، که همان فاصله دو سر زنجیر است با تعداد مونومرها به صورت زیر در می‌آید:

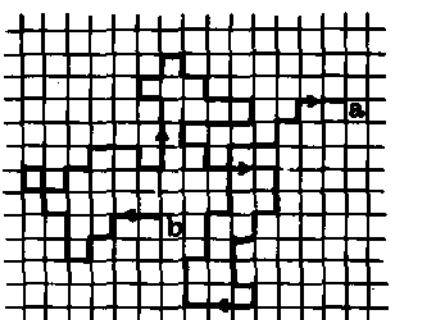
$$(10) \quad N \rightarrow \infty \quad \propto \langle R^2 \rangle^{1/2}$$

وقتی تعداد مونومرها به بینهایت میل کند، خواصی نظیر ضرب دوم ویریال، فاصله دو سر زنجیر و بعضی کمیتهای دیگر وابستگی خود را به مقیاسهای طولی کمتر از طول همبستگی از دست می‌دهند، به طوری که در این شرایط فاصله دو سر زنجیر تنها طول مشخصه سیستم است. به عبارت دیگر، خواص سیستم وقتی تعداد مونومرها به بینهایت میل کند، مستقل از خواص میکروسکوپی پلیمر می‌شود. تشابه بین طول همبستگی در فرومناطیسها و زنجیر پلیمر که در رابطه‌های بالا نشان داده شد میباید گردید که نتایج نظریه مقیاس بندی مورد استفاده در فرومناطیسها در نزدیکی نقطه بحرانی، برای به دست آوردن خواص پلیمرها نیز به کار گرفته شود.

### بحث و نتایج

#### نظریه مقیاس بندی و خواص پلیمرها

خواص یک زنجیر پلیمر برای بررسی خواص یک زنجیر پلیمر، می‌توان یک زنجیر ایده‌آل را که شباهت زیادی به یک قدم زدن بی نظم (random walk) (روی شبکه lattice) دارد در نظر گرفت. این قدم زدن که  $N$  قدم را شامل می‌شود، در شکل ۱ در فضای دو بعدی نشان داده شده است. فاصله دو سر زنجیر که فاصله  $a$  و  $b$  در شکل ۱ است، در واقع همان فاصله نقطه شروع و پایان حرکت است، به طوری که طول هر قدم در این حرکت همان طول مونومر است.



شکل ۱ - فاصله نقطه شروع و پایان حرکت بی نظم در فضای دو بعدی

برای یک زنجیر ایده‌آل میانگین محدود فاصله دو سر زنجیر  $\langle R^2 \rangle$  با

$N$  متناسب است:

$$(11) \quad \langle R^2 \rangle \propto N$$

که از آنها در فیزیک زیر عنوان قوانین مقیاس بندی یاد می‌شود.

به طور مشابه، سیستم‌های فرومناطیسی نیز در نزدیکی دمای بحرانی رفتار ویژه‌ای نشان می‌دهند. در بالاتر از دمای بحرانی، سیستم‌های فرومناطیسی به دلیل صفت آرایی نامنظم اسپینها خاصیت مغناطیسی خود را از دست می‌دهند. ولی، در دماهای کمتر از دمای بحرانی، همسویی اسپینها منجر به خاصیت مغناطیسی خود به خودی می‌شود. در نزدیکی دمای بحرانی صفت آرایی اسپینها به گونه‌ای است که در نواحی مختلف سیستم اسپینها با یکدیگر همبستگی دارند، به طوری که فاصله بین این نواحی خیلی بیشتر از فاصله بین اتمهای مجاور است و این فاصله را طول همبستگی می‌نامند. خواص ترمودینامیکی این گونه سیستمها وقتی دمای  $T$  به دمای بحرانی  $T_c$  میل می‌کند به وسیله رابطه‌های زیر بیان می‌شوند:

$$(5) \quad M \propto [T - T_c]^{\beta}$$

$$(6) \quad C \propto [T - T_c]^{-\alpha}$$

$$(7) \quad \chi \propto [T - T_c]^{-\gamma}$$

$$(8) \quad \eta \propto [T - T_c]^{-\nu}$$

در این رابطه‌ها،  $M$  پارامتر ترتیب (order parameter)،  $C$  ظرفیت گرمایی،  $\chi$  مغناطیس پذیری (susceptibility) و  $\eta$  طول همبستگی است. در جدول زیر مقادیر تجربی و نظری نمایهای بالا داده شده‌اند [۵].

جدول ۱ - مقادیر تجربی و نظری نمایهای بحرانی

نمای	تجربی	نظری
$\alpha$	$-0.14$	$0/12$
$\beta$	$-0.29$	$0/21$
$\gamma$	$-1/4$	$1/25$
$\nu$	$-0.7$	$0/64$

تمام رابطه‌های بالا را می‌توان با استفاده از نظریه مقیاس بندی به دست آورد. این نظریه براساس یک فرضیه مهم استوار است که بر طبق آن برای یک سیستم در نزدیکی نقطه بحرانی طول همبستگی (correlation length) تنها طول مشخصه (characteristic length) است. در نقطه بحرانی طول همبستگی  $\xi$ ، به بینهایت میل می‌کند و سیستم نسبت به تغییرات طولی تغییر ناپذیر می‌شود. آن‌گاه، با استفاده از تحلیل ابعادی (dimensional analysis) خواص ترمودینامیکی بالا به دست می‌آیند.

تشابه بین پدیده‌های بحرانی و پلیمرها همان طور که اشاره شد در نزدیکی نقطه بحرانی تنها طول مشخصه سیستم، طول همبستگی است. همچنین دیدیم که این طول همبستگی در

غلظت مربوط به تعداد مونومرهای یک پلیمر در حجم اشغال شده توسط آن پلیمر برابر داشت:

$$\rho_m^* = \frac{N}{V} \quad (15)$$

با توجه به ارتباط بین حجم و فاصله دو سر زنجیر داریم:

$$V \propto \langle R^2 \rangle^{3/2} \quad (16)$$

با توجه به رابطه ۱۲، ۱۵ و ۱۶ ارتباط بین غلظت  $\rho_m^*$  و تعداد مونومرها به صورت زیر در می‌آید:

$$\rho_m^* \propto \frac{N}{N^{2/3}} = N^{1-2/3} = N^{-2/3} \quad (17)$$

و قی غلظت مونومرها از این غلظت بیشتر شد خواص مقیاس بندی سیستم تغیر می‌کند و نتایج کاملاً متفاوتی به دست می‌آید.

در مورد یک زنجیر حقیقی در یک حلال خوب (حلالی که در آن برهم کنشهای مونومر - حلال خیلی قویتر از برهم کنشهای مونومر - مونومر است)، بین مونومرهای غیر متوازن که دور از یکدیگر در طول زنجیر قرار دارند، برهم کنشهای (interactions) وجود دارد و این برهم کنشها به صورت حجم مستثنی (excluded volume)، مطرح می‌شود. این حجم مستثنی که نشان دهنده افزایش حجم اشغال شده توسط زنجیر حقیقی در مقایسه با زنجیر ایده‌آل است با افزایش طول دو سر زنجیر همراه خواهد بود. در این حالت، ارتباط بین فاصله دو سر زنجیر با تعداد مونومرهای پلیمر  $N$ ، به صورت زیر داده می‌شود:

$$\langle R^2 \rangle \propto N^2 \quad (18)$$

که در آن ثابت جهانی و مقدار آن در مورد تمام پلیمرها در حلال خوب برابر  $\frac{3}{5}$  است. روشن است که میزان افزایش حجم اشغال شده توسط زنجیر به مرغوبیت حلال نیز بستگی دارد، به طوری که نمای لا در رابطه بالا کاهش کیفیت حلال کم می‌شود و ارتباط بین طول دو سر زنجیر و تعداد مونومرها به صورت زیر خواهد بود [6]:

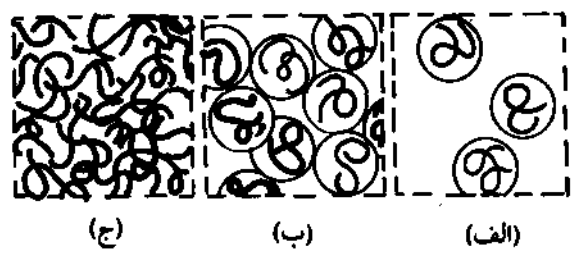
$$\langle R^2 \rangle \propto N^{2/3} \quad (19)$$

رابطه‌ای بالا نمونه‌های مهمی از قانون مقیاس بندی در مورد پلیمرها می‌باشد.

یکی دیگر از نتایج مقیاس بندی، تعداد آرایشهای فضایی زنجیر پلیمر،  $Z$ ، است که با آنtrapویی ارتباط نزدیکی دارد. و قی تعداد مونومرها به بینهایت میل می‌کند تفسیرات  $Z$  در مقابل تعداد مونومرها به وسیله رابطه زیر داده می‌شود:

$$Z \propto N^{-1} \quad (20)$$

که در این رابطه نیز لزعد ثابت جهانی و مقدار آن برابر با  $\frac{7}{4}$  است. خواص محلولهای پلیمر در حلالهای خوب: مجموعه‌ای از چند زنجیر پلیمر در یک حلال، یک محلول پلیمر را تشکیل می‌دهد. در این قسمت خواص محلولهای پلیمر در یک حلال خوب مورد بررسی قرار می‌گیرد. ولی، با توجه به اینکه در هر محدوده‌ای از غلظت پلیمر، محلولهای پلیمر رفتار متفاوتی نشان می‌دهند، لازم است که ابتدا غلظتهای محلولهای پلیمر تقسیم بندی شوند. محلولهای پلیمر را از نظر غلظت پلیمر می‌توان به سه دسته عمده تقسیم کرد. دسته اول مربوط به محلولهای راقیق پلیمر می‌باشد که در آنها به علت غلظت پایین پلیمر، زنجیرهای با یکدیگر تماسی ندارند (شکل ۲ الف). در دسته دوم، محلولهای پلیمر نیمه راقیق پلیمر می‌باشد که در آنها زنجیرهای به درون یکدیگر نفوذ می‌کنند (شکل ۲ ج). دسته سوم مربوط به محلولهای غلیظ پلیمر می‌شوند که در آنها نفوذ زنجیرهای در یکدیگر خیلی بیشتر از محلولهای پلیمر راقیق است. و قی غلظت یک محلول پلیمر راقیق بتدریج افزایش می‌یابد، در یک غلظت ویژه نفوذ زنجیرهای در یکدیگر شروع می‌شود. این حالت که در (شکل ۲ ب) نشان داده شده است مربوط به محلول پلیمر با غلظت مونومر  $\rho_m^*$  است که در واقع تعداد مونومرها در واحد حجم می‌باشد. این غلظت را می‌توان با



شکل ۲ - غلظتهای مختلف محلولهای پلیمر: (الف) محلول راقیق، (ب) غلظت شروع نفوذ زنجیرها و (ج) محلول نیمه راقیق

#### محلولهای پلیمر راقیق

با توجه به اینکه در محلولهای پلیمر راقیق ( $\rho_m^* > \rho_p$ ) غلظت پلیمر کم است و زنجیرهای پلیمر در یکدیگر نفوذ نمی‌کنند، می‌توان برای فشار اسوزی محلول از نظریه مک میلان - مایر استفاده کرد [7]. بر طبق این نظریه رابطه فشار اسوزی با غلظت پلیمر توسط بسط زیر داده می‌شود:

$$\frac{\Pi}{RT} = \rho_p + B_{ppp} \rho_p^3 + B_{ppp'} \rho_p^2 + \dots \quad (21)$$

که در این رابطه  $\Pi$  فشار اسوزی محلول،  $\rho_p$  غلظت پلیمر (تعداد پلیمر در واحد حجم)،  $B_{ppp}$  و  $B_{ppp'}$  به ترتیب ضریبهای ویریال دوم و سوم و  $T$  دما است. ضریبهای ویریال دوم و سوم به ترتیب نشان دهنده برهم کنشهای دو زنجیر و سه زنجیر پلیمر در درون محلول است. برای به دست آوردن ضریب دوم و ویریال فرض می‌شود که هر زنجیر پلیمر حجم کروی را اشغال کند و برهم کنشهای زنجیرها در درون محلول از نوع کره‌های سخت (hard spheres) باشد. در این صورت حجم این کره‌ها، که ارتباط مشخصی با میانگین فاصله دو سر زنجیر دارد با ضریب دوم و ویریال برابر خواهد بود:

$$B_{pp} \propto \langle R^2 \rangle^{3/2} = N^{2/3} \quad (22)$$

رابطه بین ضریب دوم و ویریال و ضریب سوم و ویریال برهم کنشهای از نوع کره سخت به صورت زیر است [8]:

$$B_{ppp} = \frac{5}{\lambda} B_{pp}^2 \quad (23)$$

از تئوری رابطه‌های ۱۸، ۱۹ و ۲۰ فشار اسمزی به صورت زیر در می‌آید:

$$\frac{\Pi}{RT} = \rho_p + b_{pp}N^{3/2}\rho_p^2 + \frac{b}{\lambda}b_{pp}N^{3/2}\rho_p^3 + \dots \quad (21)$$

در این رابطه ضریب  $b_{pp}$  بستگی به نوع پلیمر و حلول دارد و با تغییر تعداد مونومرهای N تغییر می‌پذیرد. عبارت دیگر، برای وزنهای مولکولی مختلف یک پلیمر در یک حلال، مقدار  $b_{pp}$  ثابت است و در تئیجه تغییرات ضریب دوم ویرایل تنها به N بستگی دارد و با رابطه زیر داده می‌شود:

$$B_{pp} = b_{pp}N^{3/2} \quad (22)$$

رابطه بالا حتی در مورد محلولهای پلیمر با حاللهای قطبی مانند آب نیز صادق بوده و به تازگی در مدلسازی ترمودینامیکی محلولهای پلیمر با موفقیت به کار گرفته شده است [9].

### محلولهای پلیمر نیمه رقيق

برای محلولهای نیمه رقيق ( $\rho_m > \rho_m^*$ ، به علت نفوذ زنجیرها در یکدیگر، طول همبستگی  $\epsilon$  به عنوان طول مشخصه سیستم مورد استفاده قرار می‌گیرد). هرگاه این محلولها را به صورت شبکه‌ای که در شکل ۳ نشان داده شده و در آن میانگین فاصله بین مونومرهای  $\epsilon$  است در نظر گیریم، فاصله مزبور طول همبستگی را مشخص می‌کند. در مورد محلولهای نیمه رقيق برای مقیاس بندی  $\epsilon$  موارد زیر در نظر گرفته می‌شود: (۱) در مقیاس  $\epsilon$  مورد نظر، شکل شبکه و در تئیجه خواص محلولهای نیمه رقيق فقط به غلظت محلول بستگی دارد، (۲) وقتی غلظت این محلولها آن قدر کاهش پیدا می‌کند که  $\rho_m = \rho_m^*$  می‌شود، طول همبستگی  $\epsilon$  با میانگین محدود فاصله دو سر زنجیر برابر می‌گردد. با درنظر گرفتن موارد یاد شده رابطه زیر پیشنهاد شده است:

$$\epsilon = \langle R^2 \rangle^{1/2} \quad (23)$$

برای اینکه  $\epsilon$  در محلولهای نیمه رقيق تنها به غلظت محلول بستگی داشته باشد، لازم است مقدار نمای  $m$  طوری اختیار شود که با قراردادن  $\langle R^2 \rangle = m$  از رابطه‌های ۱۲ و ۱۷ در رابطه ۲۳، وابستگی  $\epsilon$  به N حذف گردد:

$$\epsilon \propto N^{3/8} \quad (24)$$

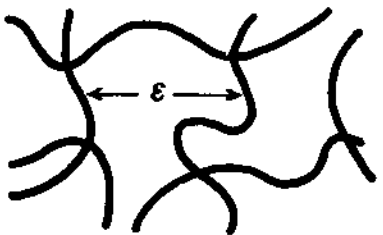
بنابراین، لازم است توان N در رابطه بالا صفر شود، یعنی  $\frac{3}{8} = -m$  باشد. در تئیجه داریم:

$$\epsilon \propto \rho_m^{-3/4} \quad (25)$$

برای به دست آوردن فشار اسمزی محلولهای نیمه رقيق، رابطه‌ای مشابه با رابطه ۲۳ پیشنهاد شده است:

$$\frac{\Pi}{RT} \propto \frac{\rho_m}{N} \left( \frac{\rho_m}{\rho_m^*} \right)^{3/4} \quad (26)$$

برای اینکه وابستگی فشار اسمزی در محلولهای نیمه رقيق نیز تنها به غلظت محدود شود، لازم است نمای  $m$  در رابطه ۲۶ به گونه‌ای باشد که با قرار دادن  $\rho_m = \rho_m^*$  از رابطه ۱۷ در رابطه ۲۶، وابستگی فشار اسمزی به N از



شکل ۳- طول همبستگی در محلولهای پلیمر نیمه رقيق

**نتیجه گیری**  
در این مقاله با در نظر گرفتن شابسته بین پدیده‌های بحرانی و خواص سیستمهای پلیمری، کاربرد نظریه‌های جدید، تئیز مقیاس بندی، برای دستیابی به خواص سیستمهای پلیمری بررسی شده است و با استفاده از این نظریه فاصله دو سر زنجیر، آتروپی، غلظت آغازی نفوذ زنجیرها، فشار اسمزی و رفتار آن در غلظتها مختلف و ضریبهای دوم ویرایل به دست آمده است. وابستگی این خواص به تعداد مونومرهای  $N$  به صورت ثابت‌های جهانی بیان شده است. از مقایسه نتایج تجربی با رابطه‌های ارائه شده ضریبهای تناسب در این رابطه‌ها به آسانی به دست می‌آید.

### مراجع

- [1]de Gennes P.G., Phys.Lett., 38A, 339, (1972).
- [2]de Gennes P.G., "Scaling Concepts in Polymer Physics", Cornell University Press, Ithaca, NY, (1979).
- [3]Freed K.F., "Renormalization Group Theory of Macro-molecules", John Wiley and Sons, New York, NY, (1987).
- [4]des Cloizeaux J., Jannink G., "Polymers in Solution", Oxford University Press, New York, (1990).
- [5]Huang K., "Statistical Mechanics", 2nd ed., John Wiley and Sons, New York, (1987).
- [6]Whittington S.G., Advances in Chemical Physics, Vol. LI, 51, (1982).
- [7]McMillan W.J., Mayer J.E., J.Chem.Phys., 13, 276, (1945).
- [8]Hill, T.L., "Statistical Thermodynamics", Dover, (1986).
- [9]Cabezas H., Kabiri M., Snyder S.M., Szlag D.C., Proceedings of Frontiers in Biochemistry II, ACS, Washington, DC, (1992).